

ВЗАИМОДЕЙСТВИЕ ФУНДАМЕНТА С СЕИСМИЧЕСКОЙ
ВОЛНОЙ СДВИГА В ДИЛАТИРУЮЩЕМ
ГРУНТОВОМ СЛОЕ

Исследование деформаций песчаных оснований, испытывающих динамические нагрузки, является чрезвычайно важным для инженерной сейсмологии и практики сейсмостойкого строительства. Песчаные грунты обычно считаются хорошими естественными основаниями, однако это верно лишь при статических нагрузках.

При динамических нагрузках происходит изменение механических свойств основания и наблюдаются значительные неравномерные осадки, которые могут являться причиной потери устойчивости сооружения или возникновения дополнительных напряжений в его конструкциях.

В эпицентральной зоне сильных землетрясений на поверхности земли амплитуды поперечных волн достигают больших величин, поэтому при расчетах основания сооружений целесообразно учитывать волны сдвига.

В песчаном грунте деформации сдвига вызывают объемное изменение. Это явление называют эффектом дилатансии. На рис. 1 показаны кривые, приведенные в [1–3] при изучении дилатационных свойств песка.

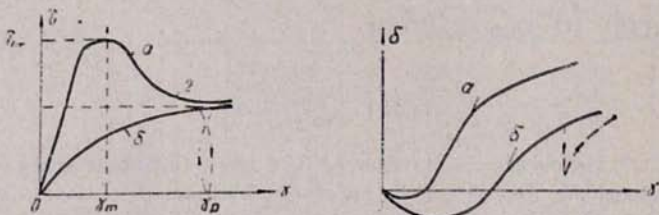


Рис. 1. Графики сопротивления сдвигу и объемного деформирования плотного (а) и рыхлого (б) песчаного грунта в зависимости от величины деформации сдвига

Как видно из графиков, при плотных песчаных основаниях происходит разуплотнение (положительная дилатансия), а при рыхлых — уплотнение (отрицательная дилатансия) [3, 10].

Будем рассматривать разуплотнение песчаного основания при действии сейсмической волны сдвига типа SH , которая поляризована в горизонтальной плоскости [8]. Координата Z направлена вверх.

Если касательные напряжения $\tau < \tau_m$, то в грунте распространяются упругие волны.

Когда $\tau > \tau_m$, в грунте будет иметь место дилатансия. Учитывая переменную плотность $\rho(\delta)$ в функции от относительной объемной деформации δ , уравнение движения запишем так;

$$\rho(\dot{\gamma}) \frac{\partial V}{\partial t} - \frac{\partial \tau}{\partial Z} = 0. \quad (1)$$

Условие неразрывности при сдвиге имеет вид:

$$\frac{\partial \gamma}{\partial t} = \frac{\partial V}{\partial Z}. \quad (2)$$

Условие сохранения массы при дилатансии запишем:

$$\frac{\partial \rho}{\partial t} + \operatorname{div}(\rho \cdot \varphi) = 0, \quad (3)$$

или

$$\frac{\partial \rho}{\partial t} + \varphi \frac{\partial \rho}{\partial Z} + \rho \frac{\partial \varphi}{\partial Z} = 0,$$

где $\varphi = \frac{d\Delta}{dt}$ — скорость дилатансии. Имея в виду, что относительная объемная деформация $\delta = \frac{\partial \Delta}{\partial Z}$ и

$$\frac{dp}{dt} = \frac{\partial \rho}{\partial t} + \varphi \frac{\partial \rho}{\partial Z},$$

интегрируя (3), получаем:

$$\rho = \rho_0 \cdot \exp(-\delta), \quad (4)$$

где ρ_0 — исходная плотность.

Как видно из (4), с увеличением δ плотность грунта уменьшается по экспоненциальному закону.

Так как скорость волны сдвига равна:

$$b = \sqrt{\frac{1}{\rho} \cdot \frac{d\tau}{d\gamma}},$$

то с учетом (4) получим:

$$b(\delta) = \sqrt{\frac{\exp(\delta)}{\rho_0} \frac{d\tau}{d\gamma}}. \quad (5)$$

При $\delta=0$ получаем известное соотношение [6, 7]:

$$b_0 = \sqrt{\frac{1}{\rho_0} \frac{d\tau}{d\gamma}}.$$

Преобразуя $\frac{\partial \gamma}{\partial t}$ и используя формулу (5), получаем:

$$\frac{\partial \gamma}{\partial t} = \frac{\partial \tau}{\partial t} \frac{\partial \gamma}{\partial \tau} = \frac{1}{b^2(\delta) \rho(\delta)} \frac{\partial \tau}{\partial t}. \quad (6)$$

В уравнение (1), подставляя значение $\rho(\delta)$ из формулы (4) и в уравнение (2) значение $\frac{\partial \gamma}{\partial t}$ из формулы (6), получаем следующую систему:

$$\exp(-\delta) \frac{\partial V}{\partial t} - \frac{1}{\rho_0} \frac{\partial \tau}{\partial Z} = 0,$$

$$\frac{1}{b^2(\delta) \rho(\delta)} \frac{\partial \tau}{\partial t} - \frac{\partial V}{\partial Z} = 0. \quad (7)$$

Аппроксимируя участок (1—2) диаграммы $\tau=\tau(\gamma)$ (рис. 1) прямой линией (рис. 2) и принимая в первом приближении, что модуль сдвига связан с объемной деформацией.

$$\frac{d\tau}{d\gamma} = G(\delta) = G_1(1-k\delta), \quad (8)$$

где k — некоторый постоянный, при условии $k\delta < 1$, G_1 — модуль пластического сдвига без дилатансии.

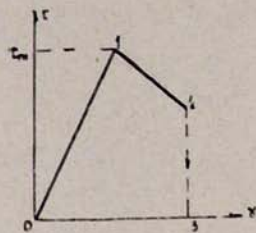


Рис. 2. Линейно-аппроксимированная диаграмма сопротивления сдвигу плотного песчаного грунта

Тогда для скорости волны из формулы (5) с учетом (8) получим

$$b_i = \sqrt{1-k\delta} (\exp \delta/2) \cdot b_1, \quad (9)$$

где b_1 — скорость пластической волны сдвига без дилатансии. С учетом (4) и (9) система (7) примет вид:

$$\exp(-\delta) \frac{\partial V}{\partial t} - \frac{1}{\rho} \frac{\partial \tau}{\partial Z} = 0, \quad (10)$$

$$\frac{1}{1-k\delta} \frac{\partial \tau}{\partial t} - b_1^2 \rho_0 \frac{\partial V}{\partial t} = 0.$$

Система (10) имеет следующие характеристики:

$$\frac{Z}{\sqrt{1-k\delta}} \pm b_1 t \exp \delta/2 = \text{const}, \quad (11)$$

вдоль которых выполняются соотношения:

$$\frac{\sqrt{1-k\delta}}{\exp \delta/2} V \pm \frac{\tau}{b_1 \rho_0} = \text{const}. \quad (12)$$

Принимая $\delta = \text{const}$ и дифференцируя первое уравнение системы (10)

по Z , а второе по t , и вычитая, получим следующее волновое уравнение относительно τ :

$$\frac{\partial^2 \tau}{\partial t^2} - b_i^2(1-k\delta)(\exp \delta) \frac{\partial^2 \tau}{\partial Z^2} = 0, \quad (13)$$

которое имеет решение

$$\tau = f_1(Z - b_i t) + f_2(Z + b_i t), \quad (14)$$

где b_i — определяется по формуле (9).

Подставляя (14) в систему (10), получаем выражение скорости колебаний частиц в волне с учетом дилатансии:

$$V = -\frac{\exp \delta/2}{b_i \rho_0 \sqrt{1-k\delta}} \cdot [f_1(Z - b_i t) - f_2(Z + b_i t)]. \quad (15)$$

Произвольные функции f_1 и f_2 определяются из начальных и граничных условий.

К более сложному случаю переменного объема δ переходим путем ступенчатой аппроксимации процесса и в численном виде определим значение V для отдельных точек.

Рассмотрим процесс распространения сейсмической волны сдвига в дилатирующем слое и взаимодействие этих волн с жестким сооружением.

Предположим, что на нижней границе дилатирующего слоя возникают динамические нагрузки, изменяющиеся во времени по линейному закону: $\tau = \tau_0 \frac{t}{\theta_2}$.

Когда $t = \theta_1$ (рис. 3), происходит разгрузка при постоянной деформации сдвига, т. е.

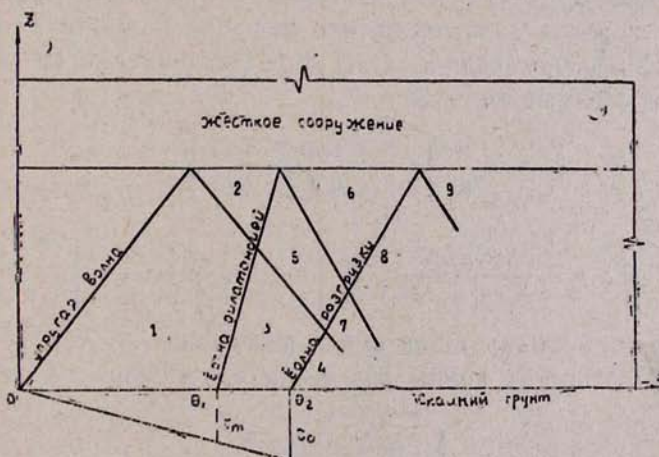


Рис. 3. Волновая сетка на координатной плоскости z, t

$$\frac{\partial \zeta}{\partial t} = 0,$$

Пока $\zeta < \zeta_m$ в слое распространяются упругие волны. При $\zeta \geq \zeta_m$ начинают распространяться дилатирующие волны.

Волновая сетка на координатной плоскости (Z, t) при условии, что волна дилатансии не успевает догонять упругие волны, а волна разгрузки—дилатирующие волны, показана на рис. 3.

Решение области 1, учитывая соотношение на положительных характеристиках [4, 6], при граничном условии $Z=0$, $\zeta=\zeta_m \frac{t}{\theta_1}$, дает:

$$\zeta_1 = \zeta_m \left(\frac{t}{\theta_1} - \frac{Z}{b_0 \theta_1} \right), \quad (16)$$

$$V_1 = \frac{\zeta_m}{\rho_0 b_0} \left(\frac{t}{\theta_1} - \frac{Z}{b_0 \theta_1} \right).$$

Упругая волна, достигая подошвы сооружения, мгновенно отражается и образуется область 2. Так как отраженная волна есть волна сильного разрыва, то на ее фронте должно соблюдаться условие динамической неразрывности:

$$\zeta_n \pm \rho_k b_l V_n = \zeta_m \pm \rho_k b_l V_m, \quad (17)$$

где n и k —номера соседних областей;

$\rho_k b_l$ —импеданс волны сдвига.

Отсюда с учетом (16) получим решение в области 2 в следующем виде

$$\zeta_2 = 2\zeta_m \left(\frac{t}{\theta_1} - \frac{Z}{b_0 \theta_1} \right). \quad (18)$$

Так как сооружение неподвижное, то $V_2=0$. В области 3 распространяется волна дилатансии, его решение получим из (14) и (15) с учетом условия на границе $Z=0$ и из соотношений на характеристиках (12) в следующем виде:

$$\zeta_3 = \frac{\zeta_0}{\theta_2} \left[t - \frac{Z \exp(-\delta/2)}{b_1 \sqrt{1-k\delta}} \right], \quad (19)$$

$$V_3 = - \frac{\exp \delta/2}{b_1 \rho_0 \sqrt{1-k\delta}} \cdot \frac{\zeta_0}{\theta_2} \left[t - \frac{Z \exp(-\delta/2)}{b_1 \sqrt{1-k\delta}} \right].$$

Из условий непрерывности на волне разгрузки $Z=\psi(t)$ (17) с учетом (19) получим скорость волны разгрузки в следующем виде:

$$\psi(t) = \sqrt{\frac{\rho_0 / \rho_{kp}}{1 - k\delta}} b_1 (t - \theta_2). \quad (20)$$

Как видно из (20), скорость волны разгрузки зависит от отношения исходной и критической плотностей. При $\delta=0$ и $\rho_0/\rho_{kp}=1$ получим, что $Z=\psi(t)=b_1 t$, где b_1 —скорость пластической волны сдвига

Таблица

№ обл.	Напряжения и скорости	Вид нагружения
1	$\tau = \tau_m \left(\frac{t}{\theta_1} - \frac{Z}{b_0 \theta_0} \right)$ $V_1 = \frac{\tau_m}{\rho_0 b_0} \left(\frac{t}{\theta_1} - \frac{Z}{b_0 \theta_1} \right)$	Упругое нагружение
2	$\tau_2 = 2\tau_m \left(\frac{t}{\theta_1} - \frac{Z}{b_0 \theta_1} \right)$ $V_2 = 0$	Покой
3	$\tau_3 = \frac{\tau_0}{\theta^2} \left[t - \frac{Z \cdot \exp(\delta/2)}{b_1 \sqrt{1-k\delta}} \right]$ $V_3 = - \frac{\exp \delta/2}{b_1 \rho_0 \sqrt{1-k\delta}} \frac{\tau_0}{\theta_2} \left[t - \frac{Z \cdot \exp(-\delta/2)}{b_1 \sqrt{1-k\delta}} \right]$	Пластическое нагружение с дилатансией
4	$\tau_4 = \frac{\rho_k}{b_1 \rho_0 \sqrt{1-k\delta}} \cdot \frac{\tau_0}{\theta_2} (\sqrt{\rho_0/\rho_k} - \exp \delta/2) \cdot Z$ $V_4 = - \frac{\exp \delta/2}{b_1 \rho_0 \sqrt{1-k\delta}} \cdot \frac{\tau_0}{\theta_2} \left[t - \frac{\sqrt{\rho_0/\rho_k}}{\exp \delta/2} (t - \theta_2) \right]$	Разгрузка
5	$\tau_5 = \tau_2 + \frac{\rho_0 b_1 \exp(-\delta/2)}{\sqrt{1-k\delta}} \cdot V_5$	—
	$V_5 = \frac{\tau_3 - \tau_2 + \rho_0 b_0 \cdot V_3}{\rho_0 \cdot b_0 + \rho \cdot b_i}$	—
6	$\tau_6 = \tau_5 + \rho b_i \cdot V_5$ $V_6 = 0$	—
7	$\tau_7 = \tau_5 + \rho_k b_p (V_7 - V_5)$ $V_7 = \frac{\tau_4 + \rho_k b_0 V_4 - V_5 + \rho_k b_p V_5}{\rho_0 \cdot b_0 + \rho_k \cdot b_p}$	—
8	$\tau_8 = \tau_6 + \rho_k b_p V_8$ $V_8 = \frac{\tau_7 - \tau_6 + \rho \cdot b_i \cdot V_7}{\rho_k \cdot b_p + \rho b_i}$	—
9	$\tau_9 = 0$ $V_9 = 0$	Покой

без дилатансии. Зная форму волны разгрузки, можно определить напряжение и скорость на фронте волны разгрузки из формул (19):

$$\begin{aligned}\tau(t) &= \frac{\tau_0}{\theta_2} \left[t - \frac{\sqrt{\rho_0/\rho_k}}{\exp \delta/2} (t - \theta_2) \right], \\ V(t) &= -\frac{\exp \delta/2}{b_1 \rho_0 \sqrt{1-k\delta}} \cdot \frac{\tau_0}{\theta_2} \left[t - \frac{\sqrt{\rho_0/\rho_k}}{\exp \delta/2} (t - \theta_2) \right].\end{aligned}\quad (21)$$

Напряжение в области разгрузки 4 находим из уравнения движения (19), подставляя в него значение $\frac{\partial V}{\partial t}$ из (21), имеем:

$$\tau_4(Z) = \frac{\rho_k}{b_1 \rho_0 \sqrt{1-k\delta}} \cdot \frac{\tau_0}{\theta_2} (\sqrt{\rho_0/\rho_k} - \exp \delta/2) \cdot Z. \quad (22)$$

Решения остальных областей определяем из условий динамической неразрывности (17) на границах двух соседних областей по методу, предложенному в [4, 9].

Решение всех областей волновой сетки, показанной на рис. 3, приведено в таблице.

Исследование показывает, что:

1) явление дилатансии существенно изменяет распределение напряжений под подошвой фундамента, особенно это относится к песчанным грунтам;

2) отмечено, что скорость распространения волн сдвига в дилатирующем слое зависит от физических параметров грунта и дилатансия приводит к существенному изменению напряжений в слое и под подошвой фундамента;

3) при изучении явления дилатансии обнаружена возможность как уплотнения слоев, так и разуплотнения. Это приводит к увеличению или, соответственно, к уменьшению касательных напряжений под фундаментом и зависит от величины фактической пористости;

4) проделанное исследование поможет уточнить расчет фундаментов, находящихся под воздействием импульсивных нагрузок.

ЛИТЕРАТУРА

- Адушкин В. В., Орленко Т. А. Прочностные характеристики и разупрочнение песчаного грунта при сдвиге. МТТ, «Наука», 1970.
- Гольдштейн М. Н. Механические свойства грунтов. М., Стройиздат, 1979.
- Денисов Н. Я. Изменение прочности песков после динамических воздействий. Сб. НИООСП, М., Госстройиздат. 1967.
- Ляхов Г. М. Основы динамики взрыва в грунтах и жидких средах. М., «Недра», 1964.
- Назаров А. Г. Метод инженерного анализа сейсмических сил. Изд. АН Арм. ССР, 1959.
- Новацкий Д. Волновые задачи теории пластичности. Изд-во М., «Мир», 1978.
- Рахматулин Х. А. О волне разгрузки. ПММ, «Наука», № 9, вып. I, 1945.
- Саваренский Е. Ф. Сейсмические волны. М., «Наука», 1970.
- Синицын А. П. Практические методы расчета сооружений на сейсмические нагрузки. М., Стройиздат, 1968.
- Тейлор Д. Основы механики грунтов. М., Госстройиздат. 1960.